

А. В. ЖУКОВ

**ПРИМЕНЕНИЕ СПЕКТРАЛЬНОЙ ТЕОРИИ
СТАЦИОНАРНЫХ СЛУЧАЙНЫХ ФУНКЦИЙ
ПРИ ПРОЕКТИРОВАНИИ ТРАНСПОРТНЫХ СИСТЕМ***(Представлено академиком АН БССР Н. С. Акуловым)*

Общеизвестным примером случайной функции являются электрические шумы. Однако этот пример далеко не единственный. Случайные функции могут появиться и при рассмотрении целого ряда других технических вопросов, относящихся к самым разнообразным отраслям техники. Кривые изменения динамических нагрузок в деталях и узлах автомобиля или другой транспортной машины при движении их по неровной дороге являются реализациями случайной функции.

Причиной, обуславливающей появление динамических нагрузок, являются колебательные процессы, возникающие в транспортной машине при ее движении по неровной дороге.

Характер колебательных процессов определяется в основном, двумя факторами: качеством поверхности дороги и характеристикой самого подвижного состава, т. е. жесткостью рессор, характером нагрузки, величиной базы и т. д.

Неровности дороги имеют случайный характер, и воздействие на машину можно представить как стационарный случайный процесс ⁽¹⁾. В этом случае характер воздействия определяется корреляционной функцией и в частотной области ⁽²⁾ — спектральной плотностью случайной функции, описывающей микропрофиль дороги.

Свойства динамической системы в частотной области достаточно полно оцениваются амплитудно-фазовой частотной характеристикой.

Таким образом, для оценки характера взаимодействия дороги с транспортной машиной необходимо иметь характеристику воздействия (спектральную плотность воздействия $\Phi(\omega)$ и амплитудно-фазовую характеристику динамической системы $W(i\omega)$).

Согласно теории стационарных случайных функций, амплитудный спектр $S(\omega)$ вынужденных колебаний линейной динамической системы можно выразить:

$$S(\omega) = |W(\omega)|^2 \cdot \Phi(\omega). \quad (1)$$

Спектральная плотность $S(\omega)$ дает наглядное представление о влиянии на динамические нагрузки скорости движения машины, параметров подвески, качества дорожных покрытий и других факторов.

Спектральная плотность воздействия $\Phi(\omega)$ определяется путем статистической обработки ⁽³⁾ микропрофилей дорог.

Частотную характеристику динамической системы можно определить либо экспериментальным путем, либо теоретически.

Рассмотрим методику получения частотной характеристики продольно-угловых колебаний полуприцепа теоретическим путем на примере автопоезда в составе тягача МАЗ-501 и низкорамного полуприцепа новой конструкции МАЗ-845, приспособленного для перевозки тяжелого оборудования. Колебательная схема, эквивалентная автопоезду, показана на рис. 1.

Степени свободы системы характеризуются обобщенными координатами $\alpha_1, \alpha_2, z_1, z_2, z_3, \zeta_1, \zeta_2$; жесткости подвесок — c_{p_1}, c_{p_2} , коэффициенты их сопротивления — k_{p_1}, k_{p_2} ; жесткость и коэффициент сопротивления шин — $c_{ш}$ и $k_{ш}$.

Как известно из ряда исследований (4,5) и т. д., коэффициент распределения масс тягача близок к единице. Если также пренебречь величиной неподдресоренной массы m_2 в связи с ее малостью по сравнению с поддресоренными, а также жесткости $c_{p_2}, c_{ш}$ и коэффициенты сопротивления k_{p_2} и $k_{ш}$ заменить эквивалентными величинами c и k , то полуприцеп можно рассматривать самостоятельно, как прицеп, имеющий переднюю ось с жесткостью упругих элементов c и коэффициентом сопротивления k .

Тогда, если воспользоваться уравнением Лагранжа, продольно-угловые колебания полуприцепа можно описать уравнением

$$\ddot{\alpha}_2 + p_1 \dot{\alpha}_2 + p_2 \alpha_2 + p_3 \ddot{z}_{02} + p_4 \dot{z}_{02} + p_5 z_{02} = \frac{1}{I} \left[\sum_{i=1}^{2n} l_i (c_i q_i + k_i \dot{q}_i) + \sum_{i=1}^{2n} l_i (c_i \Delta q_i + k_i \Delta \dot{q}_i) \right], \quad (2)$$

где p_i — постоянные коэффициенты уравнений; l_i — расстояние от центра тяжести системы до осей колес. Правая часть уравнения (2) представляет собой возмущающую функцию времени:

$$q_i = f_1(t - \tau_i); \quad \Delta q_i = f_2(t - \tau_i).$$

$\tau_i = \frac{L_2}{v}$ сек — запаздывание, т. е. время, на которое воздействие на заднюю ось запаздывает по отношению к передней.

Нашу систему можно рассматривать (1) как разомкнутую систему автоматического регулирования, причем функция воздействия отличается только величиной запаздывания.

С помощью преобразований Лапласа и Фурье из уравнения (2) после ряда преобразований получаем амплитудно-фазовую характеристику продольно-угловых колебаний полуприцепа. Ее выражение следующее:

$$W_{\alpha_2}(i\omega) = \frac{2C_\alpha}{I} \cdot \frac{a_\omega + ib_\omega}{M_\omega + iN_\omega} - \frac{2C_z}{M} \cdot \frac{a'_\omega + ib'_\omega}{M_\omega + iN_\omega}, \quad (3)$$

где $a_\omega, b_\omega, a'_\omega, b'_\omega, M_\omega, N_\omega$ содержат постоянные коэффициенты жесткости упругих элементов и коэффициенты затухания. Указанные величины изменяются с изменением частоты колебаний ω .

В члены уравнения (3) входят величины C_α и C_z , которые называются коэффициентами неодновременности воздействия; они содержат трансцендентный член $e^{-i\omega\tau_2}$, который обусловлен запаздыванием.

Таким образом, пользуясь описанной методикой, можно получить выражения амплитудно-фазовых характеристик сложных динамических систем, по которым можно определить реакции динамической системы от любого воздействия по формуле (1).

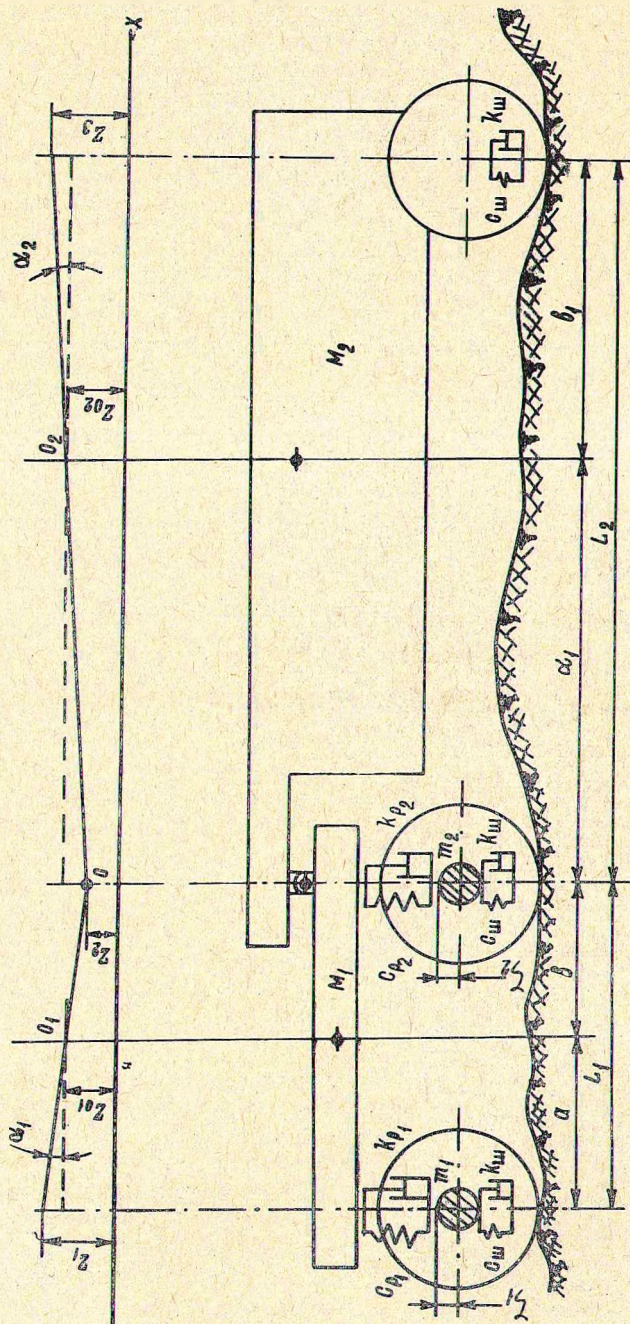


Рис. 1. Схема колебаний автопоезда

Так как в выражения частотных характеристик систем с запаздыванием входят коэффициенты C_α и C_z , зависящие от скорости движения v , то для исследования влияния скорости движения на $W(i\omega)$ достаточно выявить закономерности изменения коэффициентов C_α и C_z от v .

В нашем случае

$$C_\alpha = e^{-\tau_1 i\omega} \cdot a_1 - b_1 \cdot e^{-\tau_2 i\omega}; \quad C_z = e^{-\tau_1 i\omega} + e^{-\tau_2 i\omega}$$

или при ($\tau_1 = 0$)

$$C_\alpha = \sqrt{(a_1 - b_1 \cdot \cos \omega\tau_2)^2 + (-b_1 \cdot \sin \omega\tau_2)^2}, \quad (4)$$

$$C_z = \sqrt{(1 + \cos \omega\tau_2)^2 + (\sin \omega\tau_2)^2}. \quad (5)$$

Из рис. 2 видно, что с возрастанием скорости движения автопоезда коэффициент C_α возрастает. Максимальные значения этого коэффициен-

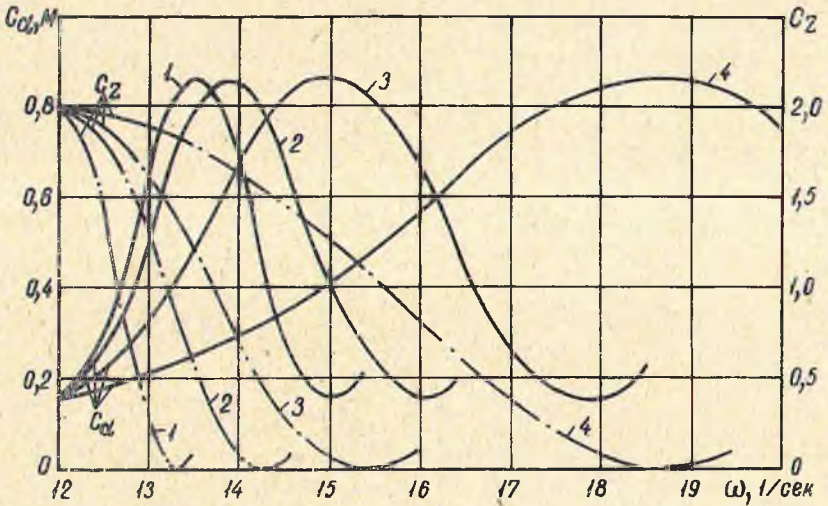


Рис. 2. Зависимость коэффициентов неодновременности воздействия C_α и C_z от частоты ω при скорости движения автопоезда (км/час): 1 — 15; 2 — 20; 3 — 30; 4 — 60

та одинаковы для всех скоростей движения. На малых частотах коэффициент C_α больше при небольших скоростях, с увеличением частоты значения коэффициента больше при повышенных скоростях движения.

При $\omega=0$ коэффициент C_α для любой скорости движения равен постоянной величине $(a_1 - b_1)$. Максимальные значения коэффициента неодновременности C_α для больших скоростей движения сдвигаются в сторону больших частот.

Из рис. 2 мы видим, что для одного значения скорости движения коэффициент C_z уменьшается с увеличением частоты. Причем, чем больше скорость движения, тем с увеличением частоты медленнее падают значения коэффициента C_z . При $\omega=0$ коэффициент неодновременности воздействия имеет максимальное значение, равное числу осей машины (см. формулу (5)). Замедление падения значений коэффициента C_z и рост коэффициента C_α с увеличением частоты ω при увеличении скорости движения машины объясняется тем, что на больших скоростях движения время запаздывания τ_2 мало, и поэтому при увеличении ω аргумент $\omega\tau_2$ растет медленно. Отсюда, если обратиться к уравнениям (4) и (5), становятся понятными рассмотренные особенности коэффициентов неодновременности воздействия. Как мы видим из формул (4) и (5), величина и характер коэффициентов неодновременности воздействия зависит также и от расположения центра тяжести по длине, т. е. от соотношения величин a_1 и b_1 .

Таким образом, пользуясь графиками изменения коэффициентов не одновременности воздействия, можно анализировать характер протекания частотных характеристик динамической системы с запаздыванием.

В процессе анализа, пользуясь выражениями амплитудно-фазовых характеристик, можно так подобрать параметры проектируемой транспортной машины, чтобы динамические реакции системы на выходе были наименьшими для заданной расчетной скорости движения и данной дороги.

Расчет динамических реакций описанным методом с применением спектральной теории случайных функций дает результаты более точные по сравнению с детерминистской теорией.

Для рассматриваемого автопоезда на основании критерия согласия Пирсона была произведена оценка соответствия экспериментальных и теоретических кривых, полученных для реакций автопоезда при движении его на опытных участках дорог с различными скоростями движения. Результаты сравнений показывают, что вероятность $P(\chi^2)$ случайных отклонений изменяется от 0,98 до 0,95.

*Отдел физики неразрушающего контроля
АН БССР,
Белорусский технологический институт
им. С. М. Кирова*

Поступило 29.XI 1966

ЦИТИРОВАННАЯ ЛИТЕРАТУРА

- ¹ А. А. Силаев, Спектральная теория поддресоривания транспортных машин, М., ГНТИмашлит, 1963. ² Я. М. Певзнер, А. А. Тихонов, Исследование статистических свойств основных типов автомобильных дорог, Автомобильная пром., № 1, 1964. ³ А. В. Жуков, Статистический метод исследования микропрофиля автомобильных дорог, Материалы научн.-техн. конференции 1966 г., в. 1, ЛТА им. С. М. Кирова, Л., 1966. ⁴ Р. В. Ротенберг, Подвеска автомобиля и его колебания, М., Машгиз, 1960. ⁵ Н. Н. Яценко, Распределение поддресоренных масс грузовых автомобилей, Автомобильная пром., № 10, 1959.